

Исследование структуры и свойств

Физические методы исследования и контроля

УДК 543.427.4:621.793

РЕНТГЕНОФЛУОРЕСЦЕНТНЫЙ АНАЛИЗ СОСТАВА ТОНКИХ ПОКРЫТИЙ С ИСПОЛЬЗОВАНИЕМ МЕТОДА ФУНДАМЕНТАЛЬНЫХ ПАРАМЕТРОВ¹

© В. М. Нарцев, А. Б. Аткарская²

Статья поступила 14 октября 2014 г.

Получены базовые уравнения метода фундаментальных параметров для рентгенофлуоресцентного анализа тонких покрытий, учитывающих прямое возбуждение и вторичную флуоресценцию. Включение в формулы вторичной флуоресценции особенно важно, если излучение от атомов покрытия (или подложки) может возбуждать атомы подложки (или покрытия). Установлено, что для подложек, содержащих тяжелые элементы, необходимо учитывать их толщину и для вторичной флуоресценции нельзя использовать полное аналитическое выражение интегралов, а необходимо прибегать к численному расчету по углу. Представлены источники справочных данных для коэффициентов массового поглощения и фотопоглощения, вероятностей электронных переходов и флуоресценции, используемых в формулах. Предложены алгоритм определения состава таких покрытий на рентгенофлуоресцентных спектрометрах, настроенных под анализ массивных (без покрытия) образцов, и способы повышения точности расчета.

Ключевые слова: рентгеновская флуоресценция; покрытия; химический состав; алгоритм расчета.

Метод рентгенофлуоресцентного анализа (РФА) позволяет определять химический состав массивных (без покрытия) материалов с точностью около 0,1 % [1]. При этом предел определения составляет 1 – 10 ppm (для бора и углерода — порядка 1 – 5 % масс.), что достаточно для управления технологическими процессами во многих отраслях промышленности. РФА относится к неразрушающим методам в отличие от атомно-эмиссионного анализа и масс-спектрометрии.

Определить состав покрытий методом РФА можно двумя способами: с применением градиуровочных образцов и на основе метода фундаментальных параметров [2]. К сожалению, подготовка образцов покрытий для градиуровки трудоемка и имеет высокую стоимость, поэтому наибольший интерес вызывает второй способ — расчетный. Кроме того, развитие метода фундаментальных параметров для массивных образцов приближает его по точности к методу градиуровок [1, 3]. Следует также учитывать, что совре-

менные компьютерные программы для определения состава покрытий методом РФА часто выдают некорректные результаты (например, показывают явно отсутствующие в покрытии элементы) и нуждаются в доработке.

Цель работы — корректировка математического аппарата количественного определения состава покрытий методом фундаментальных параметров и разработка алгоритма расчета.

Обозначения, базовые понятия и законы. Прошедший через вещество поток рентгеновских фотонов N описывается уравнением

$$N = N_0 \exp(-\mu \rho T),$$

где N_0 — начальный (падающий) поток фотонов; ρ — плотность вещества; μ — массивный коэффициент поглощения вещества; T — толщина образца.

Значение N_0 зависит от длины волны λ и определяется спектром излучения рентгеновской трубки, который, в свою очередь, зависит от материала анода, напряжения и анодного тока, а также конструкции самой трубки [4].

Результаты исследований массивных образцов слабо зависят от плотности ρ , но для точного опре-

¹ Работа выполнена при финансовой поддержке Минобрнауки РФ (проект № 1674) и РФФИ (проект 12-03-97562-р_центр_a).

² Белгородский государственный технологический университет им. В. Г. Шухова, г. Белгород, Россия;
e-mail: nvm84@yandex.ru, atkarsk06@mail.ru

ления тяжелых элементов в легких матрицах и особенно для анализа покрытий необходимо знать ее значение. Во многих случаях эта величина может быть найдена из данных РФА.

Массовый коэффициент поглощения вещества μ слагается из массовых коэффициентов поглощения атомов μ_i :

$$\mu = \sum_{i=1}^n \mu_i C_i,$$

где n — число элементов в веществе; C_i — массовая доля атомов с номером i .

Поглощение атомом рентгеновских фотонов включает три процесса: фотопоглощение, когерентное и некогерентное рассеяние, которые характеризуются соответствующими массовыми коэффициентами τ_i , σ_i^K и σ_i^{HK} . Тогда

$$\begin{aligned} \mu_i &= \tau_i + \sigma_i^K + \sigma_i^{HK}, \\ \text{или } 1 &= \frac{\tau_i}{\mu_i} + \frac{\sigma_i^K}{\mu_i} + \frac{\sigma_i^{HK}}{\mu_i}. \end{aligned}$$

Данные по μ_i и τ_i в зависимости от длины волны излучения собраны в [5, 6]; σ_i^K и σ_i^{HK} обычно исключаются из расчетов, однако их учет может повысить точность вычисления состава [2, 7].

Результат фотопоглощения — переход атома в возбужденное состояние вследствие ухода электрона с оболочки J ($J = K, L_1, L_2$ и т.д.) и образования на ней вакансии. Для этого энергия фотона должна быть не меньше энергии связи электрона на данной оболочке с атомом E_{cb}^J . Иными словами, фотон с достаточно высокой энергией может возбудить любую оболочку атома, при этом вероятность возбуждения конкретной оболочки J пропорциональна соответствующему коэффициенту (сечению) τ_i^J :

$$\begin{aligned} \tau_i &= \sum_j \tau_i^j = \tau_i^K + \tau_i^{L_1} + \tau_i^{L_2} + \dots, \\ \text{или } 1 &= \sum_j \frac{\tau_i^j}{\tau_i} = \frac{\tau_i^K}{\tau_i} + \frac{\tau_i^{L_1}}{\tau_i} + \frac{\tau_i^{L_2}}{\tau_i} + \dots \end{aligned}$$

К сожалению, зависимости τ_i^j от длины волны не всегда точно известны, поэтому в большинстве случаев применяют аппроксимации от скачков фотопоглощения [2]. Аппроксимация, например, для фотопоглощения электроном на оболочке K , $\tau_i^K(\lambda)$ выглядит так:

$$\tau_i^K(\lambda) = \begin{cases} \frac{S_{K,i}-1}{S_{K,i}} \tau_i(\lambda) & \text{при } \lambda \leq \lambda_{K,i}; \\ 0 & \text{при } \lambda > \lambda_{K,i}, \end{cases}$$

где $S_{K,i} = \frac{\tau_i^+(\lambda_{K,i})}{\tau_i^-(\lambda_{K,i})}$ — скачок фотопоглощения электроном на K -оболочке при длине волны $\lambda_{K,i}$ атома с

номером i ; $\tau_i^+(\lambda_{K,i})$ и $\tau_i^-(\lambda_{K,i})$ — максимальное и минимальное значения τ_i при $\lambda_{K,i}$.

Для L_1 -оболочки получаем аналогичные формулы, кроме случая $\lambda \leq \lambda_{K,i}$:

$$\tau_i^{L_1}(\lambda) = \begin{cases} \frac{S_{L_1,i}-1}{S_{L_1,i}S_{K,i}} \tau_i(\lambda) & \text{при } \lambda \leq \lambda_{K,i}; \\ 0 & \text{при } \lambda > \lambda_{L_1,i}; \end{cases}$$

$$\tau_i^{L_1}(\lambda) = \frac{S_{L_1,i}-1}{S_{L_1,i}} \tau_i(\lambda) \text{ при } \lambda_{K,i} < \lambda \leq \lambda_{L_1,i},$$

где $S_{L_1,i} = \frac{\tau_i^+(\lambda_{L_1,i})}{\tau_i^-(\lambda_{L_1,i})}$ — скачок фотопоглощения электроном на L_1 -оболочке при длине волны $\lambda_{L_1,i}$ атома с номером i ; $\tau_i^+(\lambda_{L_1,i})$ и $\tau_i^-(\lambda_{L_1,i})$ — максимальное и минимальное значения τ_i при $\lambda_{L_1,i}$.

Атом находится в возбужденном состоянии очень короткое время, после чего происходит релаксация за счет захвата вакансии электроном с одной из вышележащих по энергии оболочек (в соответствии с правилами отбора [2]). Количественно доля переходов из всех возможных на вакансию конкретной оболочки характеризуется вероятностью $p_i^{r,J}$, где r — оболочка, с которой происходит переход, J — оболочка с вакансией, на которую происходит переход. Значения $p_i^{r,J}$ приведены в [8, 9].

С захватом электрона вакансией выделяется энергия, которая может перейти либо во флуоресцентное излучение (предмет анализа) с вероятностью $\omega_i^{r,J}$, либо в эмиссию Оже-электрона с вероятностью $1 - \sum_{r,J} \omega_i^{r,J}$. Значения $\omega_i^{r,J}$ собраны в [10].

Основные формулы для анализа состава покрытий. Для вычисления потока флуоресцентных фотонов от анализируемого элемента в покрытии толщиной T при возбуждении монохроматическим источником с длиной волны λ разъем образец на бесконечно тонкие слои dx . Тогда изменение (уменьшение) числа фотонов, прошедших через слой толщиной $x + dx$ по сравнению со слоем толщиной x , составит

$$-dN = N_0 \exp(-\mu \rho x) \mu \rho dx.$$

Отметим, что $dN = N(x + dx) - N(x) < 0$ при $x + dx > x$. Тогда

$$\begin{aligned} -dN &= -\sum_i dN_i = N_0 \exp(-\mu \rho x) \sum_i \mu_i C_i dx, \\ \text{т.е. } -dN_i &= N_0 \exp(-\mu \rho x) \rho C_i \mu_i dx. \end{aligned}$$

Величина $-dN_i$ характеризует уменьшение числа фотонов, связанное с поглощением их в слое dx атомами с номером i . Чтобы из этого поглощения выделить поток флуоресцентных фотонов, обусловленных,

например, переходом $L_3 \rightarrow K$, величину $-dN_i^{L_3,K}$ необходимо умножить на ряд коэффициентов и учесть геометрию съемки (рис. 1):

$$\begin{aligned} -dN_i^{L_3,K} &= N_0 \exp\left(-\mu \rho \frac{x}{\sin \psi_1}\right) \rho C_i \mu_i \frac{\tau_i}{\mu_i} \frac{\tau_i^K}{\tau_i} \times \\ &\times p_i^{L_3,K} \omega_i^{L_3,K} \exp\left(-\mu^{L_3,K,i} \rho \frac{x}{\sin \psi_2}\right) \frac{\Omega}{4\pi} \frac{dx}{\sin \psi_1} = \\ &= N_0 \exp\left[-\left(\frac{\mu}{\sin \psi_1} + \frac{\mu^{L_3,K,i}}{\sin \psi_2}\right) \rho x\right] \rho C_i \times \\ &\times \frac{S_{K,i} - 1}{S_{K,i}} \tau_i p_i^{L_3,K} \omega_i^{L_3,K} \frac{\Omega}{4\pi \sin \psi_1} dx, \end{aligned}$$

где $x/\sin \psi_1$ и $dx/\sin \psi_1$ — пути, которые преодолевают первичные электроны до слоя dx и в слое dx соответственно; ψ_1 — угол между лучом первичных фотонов и плоскостью образца; τ_i/μ_i — доля фотонов, испытавших только фотопоглощение; τ_i^K/τ_i — доля поглощенных фотонов, вызвавших образование вакансии только на К-оболочке; $\Omega/4\pi$ — доля флуоресцентных фотонов, приходящихся на телесный угол Ω , в пределах которого детектор собирает эти электроны; $\mu^{L_3,K,i}$ — массовый коэффициент поглощения вещества на длине волны флуоресценции $L_3 \rightarrow K$ атомов i ; $\exp(-\mu^{L_3,K,i} \rho x/\sin \psi_2)$ — доля флуоресцентных фотонов, оставшихся после преодоления пути $x/\sin \psi_2$; ψ_2 — угол между осью детектора и плоскостью образца.

Толщина образца T излучает поток флуоресцентных фотонов $N_i^{L_3,K}$ от i -го атома при возбуждении монохроматическим излучением с $\lambda \leq \lambda_{K,i}$ (при $\lambda > \lambda_{K,i}$ $N_i^{L_3,K} = 0$):

$$\begin{aligned} N_i^{L_3,K} &= \int_0^T -dN_i^{L_3,K} = N_0 \rho C_i \frac{S_{K,i} - 1}{S_{K,i}} \tau_i p_i^{L_3,K} \omega_i^{L_3,K} \times \\ &\times \frac{\Omega}{4\pi \sin \psi_1} \int_0^T \exp\left[-\left(\frac{\mu}{\sin \psi_1} + \frac{\mu^{L_3,K,i}}{\sin \psi_2}\right) \rho x\right] dx = \\ &= N_0 C_i \frac{S_{K,i} - 1}{S_{K,i}} \tau_i p_i^{L_3,K} \omega_i^{L_3,K} \frac{\Omega}{4\pi \sin \psi_1} \times \\ &\times \frac{1 - \exp\left[-\left(\frac{\mu}{\sin \psi_1} + \frac{\mu^{L_3,K,i}}{\sin \psi_2}\right) \rho T\right]}{\frac{\mu}{\sin \psi_1} + \frac{\mu^{L_3,K,i}}{\sin \psi_2}} = \\ &= N_0 G_i C_i \tau_i \frac{1 - \exp(-\mu^* \rho T)}{\mu^*}, \end{aligned}$$

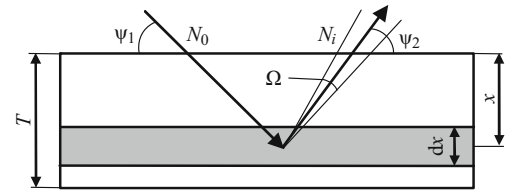


Рис. 1. Геометрия съемки

где

$$\begin{aligned} G_i &= \frac{S_{K,i} - 1}{S_{K,i}} p_i^{L_3,K} \omega_i^{L_3,K} \frac{\Omega}{4\pi \sin \psi_1}, \\ \mu^* &= \frac{\mu}{\sin \psi_1} + \frac{\mu^{L_3,K,i}}{\sin \psi_2}. \end{aligned}$$

В случае полихроматических источников возбуждение флуоресценции осуществляют все электроны в диапазоне от $\lambda_{K,i}$ до $\lambda_{\min} = hc/(eU)$, где e — заряд электрона, U — рабочее напряжение на трубке.

Изменим λ возбуждающего излучения на $d\lambda$, тогда

$$\begin{aligned} dN_i^{L_3,K} &= G_i C_i \tau_i \frac{1 - \exp(-\mu^* \rho T)}{\mu^*} dN_0 = \\ &= G_i C_i \tau_i \frac{1 - \exp(-\mu^* \rho T)}{\mu^*} \frac{\partial N_0}{\partial \lambda} d\lambda, \\ N_i^{L_3,K} &= G_i C_i \int_{\lambda_{\min}}^{\lambda_{K,i}} \tau_i \frac{1 - \exp(-\mu^* \rho T)}{\mu^*} \frac{\partial N_0}{\partial \lambda} d\lambda + \\ &+ G_i C_i \sum_{t=1}^{n_t} \tau_i(\lambda_t) \frac{1 - \exp(-\mu^*(\lambda_t) \rho T)}{\mu^*(\lambda_t)} N_0(\lambda_t), \quad (1) \end{aligned}$$

где n_t — количество линий характеристического излучения трубки; λ_t — длина волны линии t характеристического излучения трубки. Необходимость суммирования обусловлена негладкостью функции $N_0(\lambda)$.

Из формулы (1) можно получить уравнение для подложки, если учесть ослабление в покрытии возбуждающего и флуоресцентного излучений:

$$\begin{aligned} \hat{N}_i^{L_3,K} &= A(\lambda) A(\lambda^{L_3,K,i}) G_i \hat{C}_i \times \\ &\times \int_{\lambda_{\min}}^{\lambda_{K,i}} \tau_i \frac{1 - \exp(-\hat{\mu}^* \hat{\rho} \hat{T})}{\hat{\mu}^*} \frac{\partial N_0}{\partial \lambda} d\lambda + A(\lambda_t) A(\lambda^{L_3,K,i}) G_i \hat{C}_i \times \\ &\times \sum_{t=1}^{n_t} \tau_i(\lambda_t) \frac{1 - \exp(-\hat{\mu}^*(\lambda_t) \hat{\rho} \hat{T})}{\hat{\mu}^*(\lambda_t)} N_0(\lambda_t), \\ A(\lambda) &= \exp\left(-\frac{\mu(\lambda) \rho T}{\sin \psi_1}\right), A(\lambda_t) = \exp\left(-\frac{\mu(\lambda_t) \rho T}{\sin \psi_1}\right), \end{aligned}$$

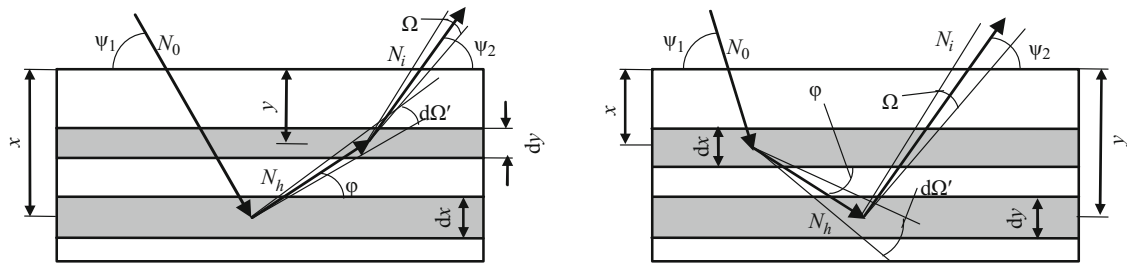
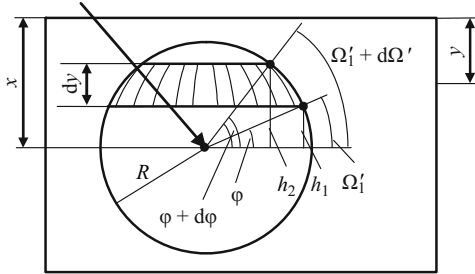


Рис. 2. Схема для расчета вторичной флуоресценции

Рис. 3. Схема для определения доли фотонов, попавших в слой dy

$$A(\lambda^{L_3, K, i}) = \exp\left(-\frac{\mu(\lambda^{L_3, K, i})\rho T}{\sin \psi_2}\right), \quad (2)$$

где знак \wedge обозначает принадлежность коэффициента k подложке.

Формулы (1) и (2) относятся к случаю прямого возбуждения. Его результат: 1) поток флуоресцентных фотонов, в том числе рассеянных когерентно и некогерентно; 2) фотоэлектроны; 3) Оже-электроны. Все эти частицы, а также когерентно и некогерентно рассеченные первичные электроны могут участвовать в непрямом возбуждении, вызывая добавочную флуоресценцию. Например, флуоресцентное излучение Ti с $\lambda^{L_3, K} = 27,5$ нм может вызвать флуоресцентное излучение Ca ($\lambda_K = 30,7$ нм), т.е. в экспериментальном спектре флуоресценции пик от атомов Ca будет больше расчетного на 20 – 30 % при $C_{Ca}:C_{Ti} \sim 1:1$ [4].

Особенно важен учет непрямого возбуждения при анализе состава тонких покрытий, если флуоресценция атомов покрытия (или подложки) может возбуждать атомы подложки (или покрытия), например, в случае TiO₂-покрытий на флоат-стеклах.

Схема для расчета добавки от непрямого возбуждения флуоресцентным излучением (вторичной флуоресценции) представлена на рис. 2.

Первичное излучение трубки, достигая слоя dx , ослабляется веществом толщиной $x/\sin \psi_1$. На длине $dx/\sin \psi_1$ происходит возбуждение флуоресценции $L_3 \rightarrow K$ от атомов h с $\lambda^{L_3, K, h}$, поток фотонов которой пропорционален массовой доле этих атомов C_h . Флуоресцентное излучение от атомов h , достигая слоя dy , ослабляется веществом толщиной $R = |x - y|/\sin \phi$.

При этом из всех фотонов, преодолевших R , в слое dy окажется доля, равная отношению площади полосы на сфере S_1 к площади S_0 всей сферы радиуса R , что эквивалентно отношению телесного угла $d\Omega'$ к полному телесному углу 4π (рис. 3):

$$\begin{aligned} \frac{S_1}{S_0} &= \frac{2\pi Rh_2 - 2\pi Rh_1}{4\pi R^2} = \\ &= \frac{\frac{2\pi Rh_2}{R^2} - \frac{2\pi Rh_1}{R^2}}{\frac{4\pi R^2}{R^2}} = \frac{\Omega'_1 + d\Omega' - \Omega'_1}{4\pi} = \frac{d\Omega'}{4\pi}. \end{aligned}$$

Фотоны от флуоресценции атомов h на длине $dy/\sin \psi$ возбуждают флуоресценцию $L_3 \rightarrow K$ от атомов i с $\mu^{L_3, K, i}$, поток фотонов от которой пропорционален массовой доле этих атомов C_i . Очевидно, что $\lambda^{L_3, K, h} < \lambda_{K,i}$. По достижении детектора поток флуоресцентных фотонов ослабится веществом толщиной $x/\sin \psi_1$. Детектор же зарегистрирует только часть фотонов ($\Omega/4\pi$). Тогда вклад фотонов от вторичной флуоресценции атомов i в дифференциальной форме составит

$$\begin{aligned} dN_{h, \text{излучено } dx}^{L_3, K} &= N_0 \exp\left(-\mu \rho \frac{x}{\sin \psi_1}\right) \times \\ &\times C_h \frac{S_{K,h} - 1}{S_{K,h}} \tau_h p_h^{L_3, K} \omega_h^{L_3, K} \frac{dx}{\sin \psi_1}, \\ dN_{h, \text{достигло } dy}^{L_3, K} &= dN_{h, \text{излучено } dx}^{L_3, K} \exp\left(-\mu^{L_3, K, h} \rho \frac{|x - y|}{\sin \phi}\right) \frac{d\Omega'}{4\pi}, \\ -dN_{i, \text{sec}}^{L_3, K} &= dN_{h, \text{достигло } dy}^{L_3, K} C_i \frac{S_{K,i} - 1}{S_{K,i}} \tau_i^{L_3, K, h} \times \\ &\times p_i^{L_3, K} \omega_i^{L_3, K} \frac{dy}{\sin \phi} \exp\left(-\mu^{L_3, K, i} \rho \frac{y}{\sin \psi_2}\right) \frac{\Omega}{4\pi}. \end{aligned} \quad (3)$$

Из рис. 3 и правил дифференцирования следует, что

$$d\Omega' = \frac{2\pi Rh_2 - 2\pi Rh_1}{R^2} =$$

$$= \frac{2\pi R R \sin(\phi + d\phi) - 2\pi R R \sin \phi}{R^2} = 2\pi \cos \phi d\phi.$$

Заменив в (3) $d\Omega'$, раскрыв модуль и подставив пределы, получим

$$\begin{aligned} N_{i,\text{sec}}^{L_3,K} &= N_0 C_h \frac{S_{K,h} - 1}{S_{K,i}} \tau_h p_h^{L_3,K} \omega_h^{L_3,K} C_i \frac{\Omega}{4\pi \sin \psi_1} \times \\ &\quad \times \frac{S_{K,i} - 1}{S_{K,h}} \tau_i^{L_3,K,h} p_i^{L_3,K} \omega_i^{L_3,K} X_{h,i} = \\ &= N_0 C_h g_h^{L_3,K} \tau_h C_i G_i \tau_i^{L_3,K,h} X_{h,i}, \\ X_{h,i} &= \int_0^{\pi/2} \frac{\operatorname{ctg}\phi}{2} \int_0^T \exp \left[-xp \left(\frac{\mu}{\sin \psi_1} + \frac{\mu^{L_3,K,h}}{\sin \phi} \right) \right] \times \\ &\quad \times \int_0^x \exp \left[-yp \left(\frac{\mu^{L_3,K,i}}{\sin \psi_2} - \frac{\mu^{L_3,K,h}}{\sin \phi} \right) \right] dy dx d\phi + \\ &+ \int_0^{\pi/2} \frac{\operatorname{ctg}\phi}{2} \int_0^T \exp \left[-xp \left(\frac{\mu}{\sin \psi_1} - \frac{\mu^{L_3,K,h}}{\sin \phi} \right) \right] \times \\ &\quad \times \int_x^T \exp \left[-yp \left(\frac{\mu^{L_3,K,i}}{\sin \psi_2} + \frac{\mu^{L_3,K,h}}{\sin \phi} \right) \right] dy dx d\phi. \end{aligned} \quad (4)$$

Как показывают расчеты, использование аналитического выражения интеграла $X_{h,i}$ [2] приводит к иска-
жению результатов в областях $\mu^{L_3,K,h} \leq \frac{\mu^{L_3,K,i}}{\sin \psi_2}$ и
 $\mu^{L_3,K,h} \leq \mu / \sin \psi_1$. Поэтому целесообразно взять интег-
рал по dy и dx аналитически, а по $d\phi$ — численно. Не-
определенность в случае $\phi = 0$ может быть ликвидиро-
вана введением конечного радиуса образца или пересмотром
расчетной схемы, однако в данной работе случаем
 $\phi = 0$ пренебрежем.

При полихроматическом источнике первичного излучения из (4) получим

$$\begin{aligned} N_{i,\text{sec}}^{L_3,K} &= C_i G_i \sum_h \sum_{r,J} C_h g_h^{r,J} \tau_i^J \times \\ &\quad \times \left[\int_{\lambda_{\min}}^{\lambda_{j,h}} \tau_h X_{h,i}^{r,J} \frac{\partial N_0}{\partial \lambda} d\lambda + \sum_{t=1}^{n_t} \tau_h(\lambda_t) X_{h,i}^{r,J} N_0(\lambda_t) \right], \end{aligned} \quad (5)$$

где индекс r,J определяет такой переход в атоме h , при котором длина волны флуоресцентного излучения от этого перехода $\lambda^{r,J,h}$ меньше длины волны края поглощения $\lambda_{K,i}$ для атома i (т.е. атомный номер элемента h не меньше номера элемента i); $\lambda_{j,h}$ — длина волны края поглощения, связанная с возбуждением оболочки J атома h .

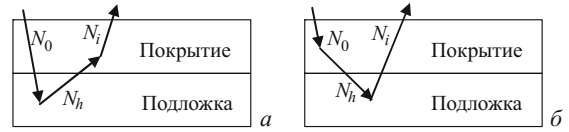


Рис. 4. Схема вторичной флуоресценции при расположении атомов: *а* — возбуждающих в подложке, флуоресцирующих в покрытии; *б* — возбуждающих в покрытии, флуоресцирующих в подложке

Формула (5) учитывает возможность возбуждения $L_3 \rightarrow K$ -флуоресценции в атомах i излучением от $M_1 \rightarrow L_1$ (и других переходов) в атомах h , а также эффект самоусилния. Для подложки получаем аналогичную (5) формулу, но с дополнительными коэффициентами A , которые представлены в выражении (2).

Выражение (5) определяет добавочный поток фотонов в случае, когда возбуждающий и флуоресцирующий атомы находятся в одном и том же слое. Однако возможны еще два случая, когда атомы расположены в разных слоях (рис. 4).

Для случая, представленного на рис. 4, *а*, получаем

$$\begin{aligned} -dN_{h,\text{излучено}}^{L_3,K} &= N_0 A(\lambda) \exp \left(-\hat{\mu} \hat{\rho} \frac{\hat{x}}{\sin \psi_1} \right) \times \\ &\quad \times \hat{C}_h \frac{S_{K,h} - 1}{S_{K,i}} \tau_h p_h^{L_3,K} \omega_h^{L_3,K} \frac{dx}{\sin \psi_1}, \\ dN_{h,\text{достигло}}^{L_3,K} &= dN_{h,\text{излучено}}^{L_3,K} \exp \left(-\hat{\mu}^{L_3,K,h} \hat{\rho} \frac{\hat{x}}{\sin \phi} \right) \times \\ &\quad \times \exp \left(-\mu^{L_3,K,h} p \frac{T-y}{\sin \phi} \right) \frac{d\Omega'}{4\pi}, \\ -dN_{i,\text{sec}}^{L_3,K} &= dN_{h,\text{достигло}}^{L_3,K} C_i \frac{S_{K,i} - 1}{S_{K,h}} \tau_i^{L_3,K,h} p_i^{L_3,K} \times \\ &\quad \times \omega_i^{L_3,K} \frac{dy}{\sin \phi} \exp \left(-\mu^{L_3,K,i} p \frac{y}{\sin \psi_2} \right) \frac{\Omega}{4\pi}, \\ N_{i,\text{sec}}^{L_3,K}(a) &= N_0 A(\lambda) \hat{C}_h g_h^{L_3,K} \tau_h C_i G_i \tau_i^{L_3,K,h} Y_{1h,i}, \end{aligned}$$

$$\begin{aligned} Y_{1h,i} &= \int_0^{\pi/2} \frac{\operatorname{ctg}\phi}{2} \int_0^T \exp \left[-\hat{x} \hat{\rho} \left(\frac{\hat{\mu}}{\sin \psi_1} + \frac{\mu^{L_3,K,h}}{\sin \phi} \right) \right] \times \\ &\quad \times \int_0^T \exp \left(-T p \frac{\mu^{L_3,K,h}}{\sin \phi} \right) \exp \left[-yp \left(\frac{\mu^{L_3,K,i}}{\sin \psi_2} - \frac{\mu^{L_3,K,h}}{\sin \phi} \right) \right] dy dx d\phi, \end{aligned}$$

а на рис. 4, *б* —

$$-dN_{h,\text{излучено}}^{L_3,K} = N_0 \exp \left(-\mu p \frac{x}{\sin \psi_1} \right) \times$$

$$\begin{aligned} & \times C_h \frac{S_{K,h}-1}{S_{K,h}} \tau_h p_h^{L_3,K} \omega_h^{L_3,K} \frac{dx}{\sin \psi_1}, \\ dN_{h,\text{достигло dy}}^{L_3,K} & = dN_{h,\text{излучено dx}}^{L_3,K} \exp \left(-\mu^{L_3,K,h} \rho \frac{T-x}{\sin \phi} \right) \times \\ & \times \exp \left(-\hat{\mu}^{L_3,K,h} \hat{\rho} \frac{\hat{y}}{\sin \phi} \right) \frac{d\Omega'}{4\pi}, \\ -dN_{i,\text{sec}}^{L_3,K} & = dN_{h,\text{достигло dy}}^{L_3,K} \hat{C}_i \frac{S_{K,i}-1}{S_{K,i}} \tau_i^{L_3,K,h} p_i^{L_3,K} \times \\ & \times \omega_i^{L_3,K} \frac{dy}{\sin \phi} \exp \left(-\hat{\mu}^{L_3,K,i} \hat{\rho} \frac{\hat{y}}{\sin \psi_2} \right) \frac{\Omega}{4\pi} A(\lambda^{L_3,K,i}), \\ N_{i,\text{sec}}^{L_3,K}(\delta) & = N_0 A(\lambda^{L_3,K,i}) C_h g_h^{L_3,K} \tau_h \hat{C}_i G_i \tau_i^{L_3,K,h} Y_{2h,i}, \\ Y_{2h,i} & = \int_0^{\pi/2} \frac{\operatorname{ctg} \phi}{2} \int_0^{\hat{T}} \exp \left[-\hat{\rho} \hat{\rho} \left(\frac{\hat{\mu}_i}{\sin \psi_2} + \frac{\hat{\mu}^{L_3,K,h}}{\sin \phi} \right) \right] \times \\ & \times \int_0^T \exp \left[-T \rho \frac{\mu^{L_3,K,h}}{\sin \phi} \right] \exp \left[-x \rho \left(\frac{\mu}{\sin \psi_1} - \frac{\mu^{L_3,K,h}}{\sin \phi} \right) \right] d\hat{y} dx d\phi. \end{aligned}$$

Аналитические выражения интегралов $Y_{1h,i}$ и $Y_{2h,i}$ [2] имеют области определения, не соответствующие физике процесса, поэтому их необходимо взять аналитически по $dyd\hat{x}$ и по $d\hat{y}dx$, а по $d\phi$ — численно.

В полихроматическом приближении поток фотонов $N_{i,\text{sec}}^{L_3,K}(a, \delta)$, возникающий по обеим схемам вторичной флуоресценции (см. рис. 4), будет определяться выражением

$$\begin{aligned} N_{i,\text{sec}}^{L_3,K}(a, \delta) & = A(\lambda) C_i G_i \sum_h \sum_{r,J} \hat{C}_h g_h^{r,J} \tau_i^{r,J} \times \\ & \times \left[\int_{\lambda_{\min}}^{\lambda_{1h}} \tau_h Y_{1h,i}^{r,J} \frac{\partial N_0}{\partial \lambda} d\lambda + \sum_{t=1}^{n_t} \tau_h(\lambda_t) Y_{1h,i}^{r,J} N_0(\lambda_t) \right] + \\ & + A(\lambda^{L_3,K,i}) \hat{C}_i G_i \sum_h \sum_{r,J} C_h g_h^{r,J} \tau_i^{r,J} \times \\ & \times \left[\int_{\lambda_{\min}}^{\lambda_{2h}} \tau_h Y_{2h,i}^{r,J} \frac{\partial N_0}{\partial \lambda} d\lambda + \sum_{t=1}^{n_t} \tau_h(\lambda_t) Y_{2h,i}^{r,J} N_0(\lambda_t) \right]. \end{aligned}$$

Итак, $L_3 \rightarrow K$ флуоресцентное излучение от атомов i из образца с покрытием $\bar{N}_i^{L_3,K}$ складывается из излучений от прямого возбуждения покрытия и подложки, внутрислоевой вторичной флуоресценции в покрытии и подложке, а также межслоевой вторичной флуоресценции:

$$\bar{N}_i^{L_3,K} = N_i^{L_3,K} + \hat{N}_i^{L_3,K} + N_{i,\text{sec}}^{L_3,K} +$$

$$+ \hat{N}_{i,\text{sec}}^{L_3,K} + N_{i,\text{sec}}^{L_3,K}(a, \delta). \quad (6)$$

Для определения содержания легких элементов (C, N, O) в покрытии нужно учесть каскадный эффект, а также возбуждение фото- и Оже-электронами [3, 11]. В [13] сделана попытка ввести в расчет возбуждение фото- и Оже-электронами для системы подложка-покрытие с помощью метода Монте-Карло, что привело к значительному увеличению времени расчета и ухудшению точности до 5 % (метод фундаментальных параметров дает точность около 1 % и менее). Очевидно, что к задаче возбуждения электронами флуоресценции в образцах с покрытиями необходим аналитический подход, подобный вышеописанному.

Алгоритм расчета состава покрытия. На большинстве рентгенофлуоресцентных спектрометров анализ состава покрытий вызывает проблемы, что связано с калибровкой прибора и настройкой расчетной программы под массивные (без покрытия) образцы. Тем не менее, учитывая составы чистой подложки и подложки с покрытием, состав покрытия вычислить все-таки можно. Для этого по составу покрытия с подложкой восстанавливают спектр флуоресценции в предположении однородности образца по формулам (1) и (5), в которых толщину полагают равной толщине образца. Далее, используя состав подложки и варьируя плотность, толщину (если они неизвестны) и состав покрытия, рассчитывают модельный спектр флуоресценции от подложки с покрытием. Варьирование прекращают при совпадении восстановленного и модельного спектров. При таком подходе влияние неточности справочных коэффициентов уменьшается из-за применения одних и тех же формул, а инструментальные погрешности уже учтены в конечных составах, определяемых программой спектрометра (по этой причине используют именно составы, а не интенсивности).

Таким образом, при выводе базовых уравнений метода фундаментальных параметров с целью анализа тонких покрытий установлено, что интегралы вторичной флуоресценции необходимо брать аналитически по толщине и численно по углу. Учесть нулевое значение угла можно вводом конечного радиуса образца или пересмотром расчетной схемы. Предложен алгоритм определения составов покрытий на рентгенофлуоресцентных спектрометрах, настроенных под анализ массивных (без покрытия) образцов.

Структура уравнений показывает, что имеется возможность, во-первых, для построения профилей концентраций элементов в покрытиях и массивных материалах, во-вторых, для оценки нестехиометрии оксидных, карбидных, нитридных покрытий даже при отсутствии соответствующих аналитических каналов в приборе (принцип может быть основан на различии в поглощении флуоресцентного излучения элементами, прежде всего Na и Mg). Однако для этого необходимо повысить точность расчета, в частности: ком-

бинированием методов фундаментальных параметров и влияющих коэффициентов (как это сделано для массивных образцов в [12]), учетом непрямого возбуждения фото- и Оже-электронами, совместным анализом $L_3 \rightarrow K$ - и $M_1 \rightarrow L_1$ -флуоресценций, введением в расчетную схему каскадных механизмов и комптоновского рассеяния. Конечно, при этом значительно повышается объем вычислений, поэтому актуальна разработка высокопроизводительного программного обеспечения.

ЛИТЕРАТУРА

1. de Boer D. K. G., Borstrok J. J. M., Leenaers A. J. G. et al. How Accurate is the Fundamental Parameter Approach? XRF Analysis of Bulk and Multilayer Samples / X-Ray Spectrometry. 1993. Vol. 22. P. 33 – 38.
2. Beckhoff B., Kanngießer B., Langhoff N., et al. Handbook of Practical X-Ray Fluorescence Analysis. — Germany: Springer-Verlag Berlin Heidelberg, 2006. — 899 p.
3. Mantler M., Kawahara N. How accurate are modern fundamental parameter methods? / The Rigaku Journal. 2004. Vol. 21. N 2. P. 17 – 25.
4. Афонин В. П., Гуничева Т. Н., Пискунова Л. Ф. Рентгенофлуоресцентный силикатный анализ. — Новосибирск: Наука. Сибирское отделение, 1984. — 226 с.
5. Henke B. L., Gullikson E. M., Davis J. C. X-Ray interactions: photo-absorption, scattering, transmission and reflection at $E = 50 - 30000$ eV, $Z = 1 - 92$ / Atomic Data and Nuclear Data Tables. 1993. Vol. 54. N 2. P. 181 – 342.
6. X-Ray Mass Attenuation Coefficients. (Электронный ресурс) URL: <http://physics.nist.gov/PhysRefData/XrayMassCoef/tab3.html> (дата обращения: 14.10.2014).
7. Цветянский А. Л., Еритенко А. Н. Использование интенсивности рассеянного веществом первичного рентгеновского излучения в практике РФА / Электронный научный журнал «Исследовано в России». 2013. Т. 16. С. 286 – 320.
8. Pia M. G., Saracco P., Sudhakar M. Validation of K and L Shell Radiative Transition Probability Calculations / IEEE Transactions on Nuclear Science. 2009. Vol. 56. N 6. P. 3650 – 3661.
9. Söğüt Ö., Büyükkasap E., Küçükönder A., et al. Measurement of vacancy transfer probability from K to L shell using K-shell fluorescence yields / Pramana — Journal of Physics. 2009. Vol. 73. N 4. P. 711 – 718.
10. Salvat F., Fernández-Varea J. M., Sempau J. PENELOPE — A Code System for Monte Carlo Simulation of Electron and Photon Transport / Workshop Proceedings Issy-les-Moulineaux. 2003. — 241 p.
11. Kataoka Y., Kawahara N., Arai T., et al. Study of light element analysis of thin films for fundamental parameter method / JCPDS-International Centre for Diffraction Data. 1999. P. 76 – 83.
12. Rousseau R. M. The Quest for a Fundamental Algorithm in X-Ray Fluorescence Analysis and Calibration / The Open Spectroscopy Journal. 2009. Vol. 3. P. 31 – 42.
13. Mantler M. Quantitative Analysis of Thin Films and Multiple Thin Film Structures by Monte-Carlo Techniques / JCPDS-International Centre for Diffraction Data. 1999. P. 54 – 61.

REFERENCES

1. de Boer D. K. G., Borstrok J. J. M., Leenaers A. J. G. et al. How Accurate is the Fundamental Parameter Approach? XRF Analysis of Bulk and Multilayer Samples / X-Ray Spectrometry. 1993. Vol. 22. P. 33 – 38.
2. Beckhoff B., Kanngießer B., Langhoff N., et al. Handbook of Practical X-Ray Fluorescence Analysis. — Germany: Springer-Verlag Berlin Heidelberg, 2006. — 899 p.
3. Mantler M., Kawahara N. How accurate are modern fundamental parameter methods? / The Rigaku Journal. 2004. Vol. 21. N 2. P. 17 – 25.
4. Afonin V. P., Gunicheva T. N., Piskunova L. F. Rentgenofluorescentnyi silikatnyi analiz [X-ray fluorescence analysis of silicates]. — Novosibirsk: Nauka. Sibirske otdelenie, 1984. — 226 p. [in Russian].
5. Henke B. L., Gullikson E. M., Davis J. C. X-Ray interactions: photo-absorption, scattering, transmission and reflection at $E = 50 - 30000$ eV, $Z = 1 - 92$ / Atomic Data and Nuclear Data Tables. 1993. Vol. 54. N 2. P. 181 – 342.
6. X-Ray Mass Attenuation Coefficients (on-line). URL: <http://physics.nist.gov/PhysRefData/XrayMassCoef/tab3.html> (accessed 14.10.2014).
7. Tsvetanskii A. L., Eritenko A. N. Ispol'zovanie intensivnosti rassennyannogo veshchestvom pervichnogo rentgenovskogo izlucheniya v praktike RFA [Using the intensity of scattered primary X-rays by substance in the practice of XRF-analysis] / Elektr. Nauch. Zh. "Issledovaniye v Rossii". 2013. Vol. 16. P. 286 – 320 [in Russian].
8. Pia M. G., Saracco P., Sudhakar M. Validation of K and L Shell Radiative Transition Probability Calculations / IEEE Transactions on Nuclear Science. 2009. Vol. 56. N 6. P. 3650 – 3661.
9. Söğüt Ö., Büyükkasap E., Küçükönder A., et al. Measurement of vacancy transfer probability from K to L shell using K-shell fluorescence yields / Pramana — Journal of Physics. 2009. Vol. 73. N 4. P. 711 – 718.
10. Salvat F., Fernández-Varea J. M., Sempau J. PENELOPE — A Code System for Monte Carlo Simulation of Electron and Photon Transport / Workshop Proceedings Issy-les-Moulineaux. 2003. — 241 p.
11. Kataoka Y., Kawahara N., Arai T., et al. Study of light element analysis of thin films for fundamental parameter method / JCPDS-International Centre for Diffraction Data. 1999. P. 76 – 83.
12. Rousseau R. M. The Quest for a Fundamental Algorithm in X-Ray Fluorescence Analysis and Calibration / The Open Spectroscopy Journal. 2009. Vol. 3. P. 31 – 42.
13. Mantler M. Quantitative Analysis of Thin Films and Multiple Thin Film Structures by Monte-Carlo Techniques / JCPDS-International Centre for Diffraction Data. 1999. P. 54 – 61.